

微量硼元素添加对 Ti6Al4V-xB 组织及性能的影响

张飞奇, 陈文革, 闫超峰

(西安理工大学, 陕西 西安 710048)

摘要: 采用高真空非自耗熔炼及吸铸方法制备不同硼含量的 Ti6Al4V-xB ($x=0, 0.05, 0.1, 0.5$, 质量分数, %) 合金, 将合金在 900 °C 下进行 2 h 保温退火。研究了不同微量硼元素添加对 Ti6Al4V-xB 的铸造显微组织及力学性能的影响。结果表明, 微量硼元素的添加影响了钛合金高温形核过程, 在固-液前沿富集 B 元素阻碍初始 β -Ti 长大, 有效细化钛合金晶粒, 当硼含量超过 0.1% 时, 则有 TiB 相的析出。Ti6Al4V-xB 合金的强度极限随硼含量的增加单调上升, 由 893 MPa 变为 966 MPa, 这是细晶强化和析出强化共同作用的结果; 合金的塑性则是先升高后降低, Ti6Al4V-0.05B 的塑性提高了 15%, 而 Ti6Al4V-0.1B 与 Ti6Al4V-0.5B 的塑性则降低了 50%, 是因为析出脆性的 TiB 相, 形成脆性断裂敏感带。

关键词: Ti6Al4V 合金; TiB; 显微组织; 力学性能

中图分类号: TG146.23

文献标识码: A

文章编号: 1002-185X(2018)03-0932-05

钛合金由于密度小、比强度高、耐腐蚀、高温性能稳定等特性而被广泛应用于航空航天、机械制造以及生物医学等领域, 是重要的工程结构材料之一^[1-4]。其中, Ti-6Al-4V 合金是一种典型的 $\alpha+\beta$ 型钛合金, 其使用量占钛合金总数的 75% 以上, 但铸态 Ti-6Al-4V 钛合金的显微组织为粗大原始 β 晶粒中存在大量互相平行片层 α 相, 易形成脆性面, 导致其塑性低, 冲击韧性差^[5], 只能采用大变形锻造手段改善其组织结构, 使得钛合金零部件制造成本增加。为此人们尝试以添加微量合金元素细化传统钛合金晶粒, 从而提高其性能。近年来相继发现在传统铸造钛合金中添加如 Si^[6]、B^[7] 及 Y^[8] 等微量元素, 能改善钛合金组织性能。其中 B 的添加引起了更多注意, 因为添加微量的 B 之后, 可以有效细化铸造组织, 提高室温强度, 然而微量硼对钛合金细化晶粒机制非常复杂。B. Inkson 等^[9]认为, 硼添加到 Ti 合金中形成的硼化物首先从合金液相中析出, 成为异质形核的核心; A. B. Godfrey^[10]认为在结晶的过程中, 由于硼的加入, 破碎的枝晶成为合金凝固的新核心; T. T. Cheng^[11]提出了在合金凝固过程中硼原子被排斥到熔液中, 在凝固前沿产生了附加成分过冷, 在那里 TiB 相首先从液相中结晶出来, 并作为新核心使基体合金以非均匀形核的方式结晶长大。可见这些解释只是说增加了形核数量, 至于怎么长大的没有相关报道。再者, 很多学者研究添加较多的硼以改善其强度,

而忽略了塑性的急剧降低^[12,13]。本研究从添加微量的硼着手, 探讨获得良好强韧性配合的钛合金, 同时研究硼的存在改善钛合金性能的微观机理。

1 实验

实验材料为机加工后表面呈光亮的 Ti6Al4V 棒材, 其规格为 $\Phi 10$ mm \times 30 mm; 硼源选择为平均粒度 30 μ m 的 99.999% 高纯硼粉。硼与钛合金块按照 0.05%、0.1%、0.5% (质量分数, 下同) 不同比例进行配料, 采用高真空自耗吸铸炉熔炼与吸铸, 获得 $\Phi 3$ mm \times 80 mm 棒材及 $\Phi 20$ mm \times 10 mm 铸锭。为消除铸造冷却过程组织不均匀的影响, 将合金放置在管式炉中, 氩气保护下, 900 °C 保温 2 h, 随炉冷却至室温。

将铸锭抛光, 在 Tukon 2100B 型显微维氏硬度计上进行维氏硬度测量。利用 OLYMPUS-GX71 型倒置金相显微镜对所制合金进行显微组织观察, 腐蚀溶液 HF:HNO₃:H₂O=2:4:94, 用 OLYMPUS M3 图像分析软件进行平均晶粒尺寸评级分析。为了进一步观察金相组织中的第二相形貌, 用同样的腐蚀液深度腐蚀时间约 30 min, 采用 JSM-6700E 扫描电子显微镜进行观察、并用自带的能谱仪进行元素分析和拉伸断口形貌观察。采用 XRD-7000 型 X 射线衍射仪对不同 B 含量合金进行组织结构测定, 采用铜靶 K α 线 ($\lambda=0.15406$ nm), 扫描速度 8°/min, 扫描范围 2θ 取 30~80°。在 HT-2402 型拉伸试验机上进行室温拉伸试验, 其拉伸试样尺寸如图 1 所示。

收稿日期: 2017-03-15

基金项目: 西安市科技支撑项目 (CX1342(2))

作者简介: 张飞奇, 男, 1986 年生, 硕士生, 西安理工大学材料科学与工程学院, 陕西 西安 710048, 电话: 029-82312383, E-mail: hutom@126.com

2 结果与分析

2.1 Ti6Al4V-xB 合金的相组成及显微组织

图 2 为 Ti6Al4V-xB 合金铸锭经过退火处理后的 XRD 图谱。由图可以看到，Ti6Al4V-0.05B 的 XRD 图谱与 Ti6Al4V 的图谱相比，没有明显的新衍射峰出现，表明合金在添加 0.05% (质量分数)的 B 未有新相出现，但衍射峰出现较为明显的宽化现象，说明 B 的添加对该合金有细化作用。当 B 含量超过 0.1%，其 XRD 图谱上可观察到(401)_{TiB} 峰，同时 (100)_α、(002)_α、(103)_α 峰明显增强，而这 3 个衍射峰也分别对应着(201)_{TiB}、(111)_{TiB}、(113)_{TiB} 的衍射峰，这表明在本实验中，当 B 含量超过 0.1%，Ti6Al4V-xB 合金含有 TiB 相的析出，且添加量越多，析出的 TiB 越多。

图 3 是不同 B 添加量的 Ti6Al4V-xB 合金显微组织。图 3a 为未添加 B 元素合金中常见的大量 α+β 型钛合金片层组织，在原始 β 晶粒内形成尺寸较大集束，集束中 α 相互叠加的片层相彼此平行，这是由于两相之间存在着严格的 Burgers 取向关系^[5]。而在图 3b 图中 Ti6Al4V-0.05B 合金组织近似于细小等轴晶粒，其平均晶粒大小为 8.23 μm；从图 3c 中 Ti6Al4V-0.1B 合金可以观察到沿晶界有少量 TiB 析出，钛合金基体晶粒分布形貌与 Ti6Al4V-0.05B 晶粒形貌相似，其平均

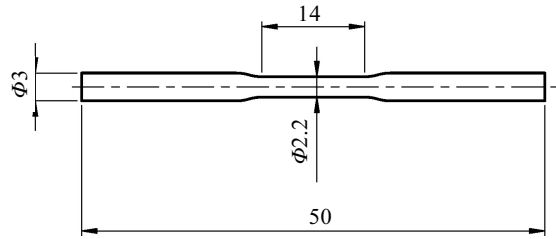


图 1 Ti6Al4V-xB 的室温拉伸试样图

Fig.1 Schematic geometry of the tensile test specimen

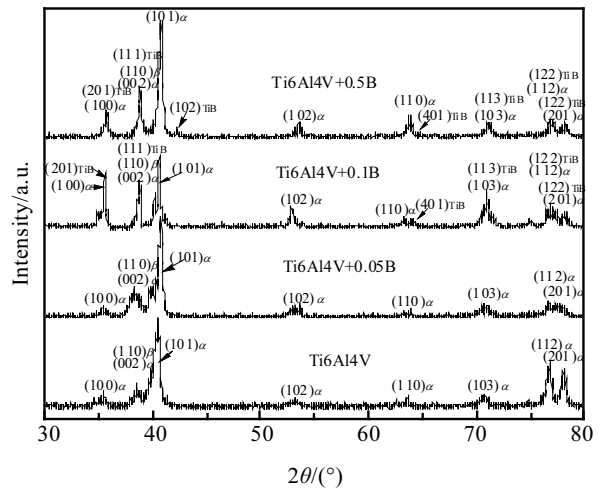


图 2 Ti6Al4V-xB 合金的 XRD 图谱

Fig.2 XRD patterns of the Ti6Al4V-xB alloys

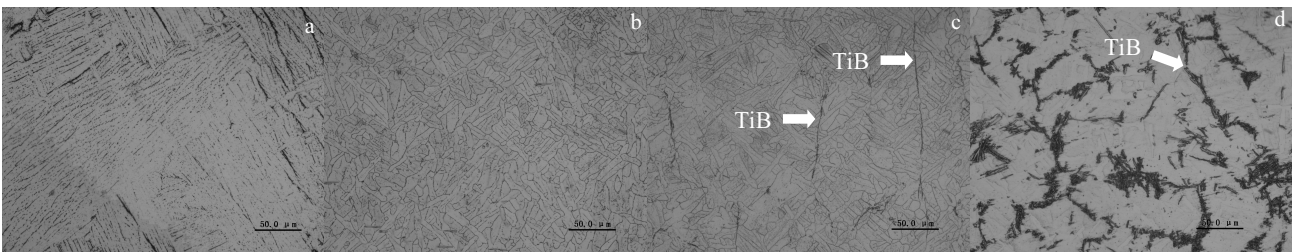


图 3 不同 B 含量合金的金相组织

Fig.3 OM images of Ti6Al4V-xB alloy with different B contents: (a) x=0, (b) x=0.05, (c) x=0.1, and (d) x=0.5

晶粒大小为 8.07 μm。当 B 含量达到 0.5%，在晶界处分布有大量的 TiB 相，根据图 3d，进行图像灰度分析测得 TiB 分布含量约为 9.7%。

为了进一步解析出的 TiB 相，对所制合金进行深度腐蚀。图 4 为 Ti6Al4V-0.5B 合金的 SEM 照片及能谱分析。可以看出，在低倍下，与金相组织类似，有在黑色的基体上析出灰白色的 TiB 相（见图 4a），将此放大后（见图 4b）看到长短不一“棒状”的组织形貌，表面光滑平直。这与文献[13]中所表述的在钛合金基体中 TiB 相形貌及分布相一致。为进一步确认

该第二相的成分，进行能谱分析结果如图 4c 所示，其主要组成元素为 Ti、B、Al、V。

以上实验结果表明，微量硼添加可有效细化晶粒，同时与 Ti6Al4V-0.1B 合金相比较 Ti6Al4V-0.05B 合金晶粒细化不明显。其原因为 B 与 Ti 的原子半径比相差较大，其值为 0.66，这对于形成间隙原子或核置换原子都是不利的，B 在钛中的溶解度非常低，SEM 照片及能谱表明 B 元素在凝固过程中不断被排挤到初生 β 晶核前沿，形成 B 元素富集“包裹层”（见图 5），为析出少量的硼化物提供了形核位置，并且阻碍初始 β

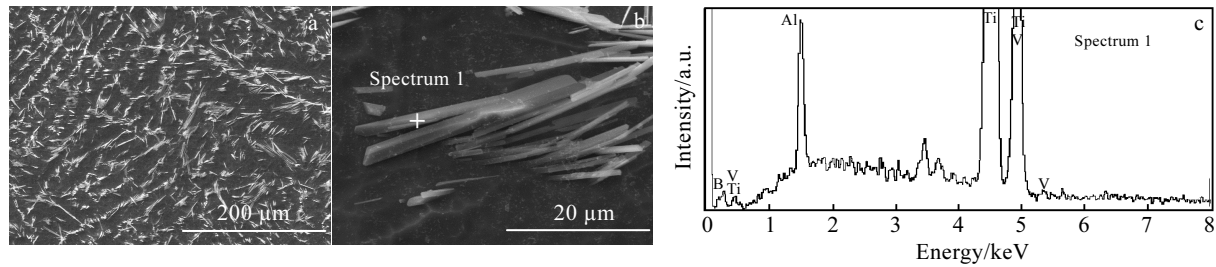


图 4 Ti6Al4V-0.5B 合金第二相的 SEM 照片及 EDS 能谱分析

Fig.4 SEM images (a, b) and EDS spectrum (c) of precipitated-phase in Ti6Al4V-0.5B alloy

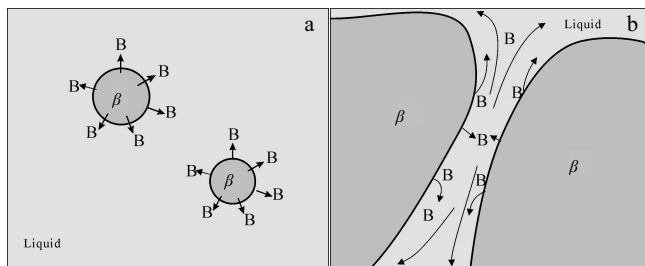


图 5 硼对钛合金细化机理示意图

Fig.5 Schematic diagrams of grain refinement mechanism in titanium alloys modified with B: (a) boron-marginalized from β -Ti and (b) boron-enriched layer

相增大，从而使得钛合金微观形貌呈近似于细小等轴晶粒，而继续添加更多硼含量，合金初始 β 相形核方式未发生改变，导致钛合金晶粒细化不明显。这与文献[7]中解释 B 对钛凝固及形核过程影响相一致。

2.2 Ti6Al4V-xB 合金的力学性能

不同微量 B 元素的 Ti6Al4V-xB 合金，经过退火后在室温下进行拉伸实验，各个试样拉伸曲线如图 6 所示。可以看出，开始变形时，载荷很小，这是直径较小试样装卡的缘故。随着变形量的继续增加，载荷呈线性增加，随硼含量的不同，几种钛合金表现出不同的强度和塑性，添加 0.05%B 的 Ti6Al4V-0.05B 比 Ti6Al4V 合金具有高的塑性和强度，而添加 0.1%B 的 Ti6Al4V-0.1B 比 Ti6Al4V 合金具有强度高，但塑性差的特点。经拉伸试验测得，Ti6Al4V、Ti6Al4V-0.05B、Ti6Al4V-0.1B 合金的抗拉强度分别是 864、937 和 956 MPa。可见，硼的添加对提高强度非常明显。

Ti6Al4V-0.05B 比 Ti6Al4V 合金具有高的强度且更好的塑性，是因为微量 B 元素的添加能够细化钛合金晶粒，在同样拉伸塑性变形下，变形量分散在更多钛合金的晶粒内，使得塑性变形均匀，且每个晶粒中

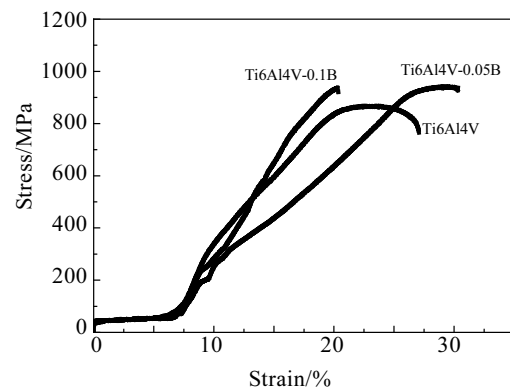


图 6 掺杂不同硼 Ti6Al4V-xB 合金室温下拉伸应力-应变曲线
Fig.6 Room-temperature stress-strain curves of alloys with different B contents

塞积的位错较少，降低应力集中引起的开裂机会，在断裂前能够承受较大的变形量，从而提高了强度与塑性。添加 B 大于 0.1% 时，合金强度增加，塑性降低。其原因在于合金中有 TiB 相的析出，在拉伸过程中，钛合金基体中大量的运动位错与 TiB 相遇，将受到 TiB 的阻挡，位错移动困难致使塑性降低，并且需要增加应力才能使合金断裂，从而使抗拉强度提升。

图 7 是 Ti6Al4V-xB 合金硬度和延伸率随 B 含量的变化曲线。由图可以看出，Ti6Al4V-xB 合金的硬度随硼含量的增加，单调上升，这与前面强度的分析结果一致。而 Ti6Al4V-xB 合金的延伸率则随 B 含量的增加先增大后下降，当硼含量为 0.05% 时，延伸率是 11.5%，相比于 Ti6Al4V 合金，塑性提高了约 15%，当硼含量为 0.1% 时，延伸率是 5%，比 Ti6Al4V 合金下降了约 50%。正如前文分析的，细化晶粒不仅能提高强度，还能提高塑性。而析出强化只能提高强度，牺牲塑性。这也与前面的显微组织分析一致，微量硼添加细化晶粒明显，B 含量大时，析出的第二相明显。

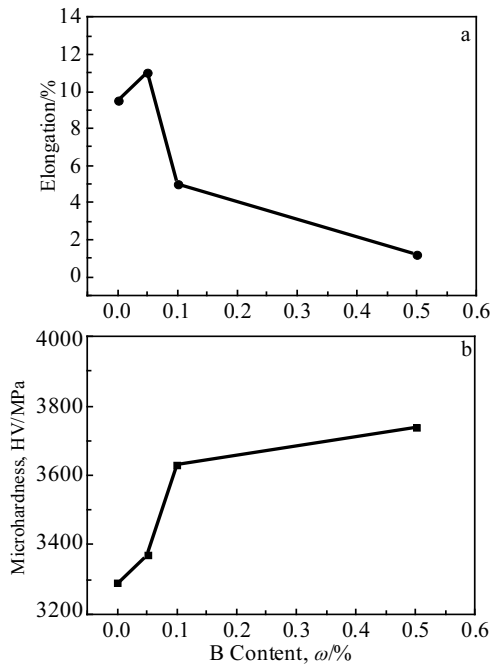


图 7 Ti6Al4V-xB 合金硬度和延伸率随 B 含量的变化曲线
 Fig.7 Mechanical properties of alloys with different B contents:
 (a) elongation and (b) micro-hardness

图 8 是不同 B 含量 Ti6Al4V-xB 合金断口 SEM 照片。可以看出，未添加 B 元素的 Ti6Al4V 合金与 Ti6Al4V-0.05B 合金均呈韧性断裂；不同的是 Ti6Al4V 合金断口表面上的韧窝较深且粗大，Ti6Al4V-0.05B 合金拉伸断口形貌中的韧窝变得均匀细小且深度较浅，因为韧窝的大小与深浅取决于第二相的数量与基体的塑韧性，韧窝大而深说明加工硬化能力强，添加微量硼后钛合金的韧窝变小，说明有细小的第二相析出，强韧性增加。当 B 含量超过 0.1% 以上，断口上可观察到解理脆性断裂特征的河流状花样或撕裂棱，其成因在于在凝固阶段 B 元素被排挤到初始 β 相晶界处，析出大量脆性 TiB 相，在拉伸试验过程中，合金基体中在外力作用下位错不断增殖与滑移，大量位错将被 TiB 相阻碍，在 TiB 相附近形成位错塞积(见图 9a)，导致应力集中，萌生裂纹，并且相比于钛合金基体，TiB 对裂纹抗力很小^[14]，为裂纹提供了扩展路径，致使裂纹扩展加速(见图 9b)，使合金塑性急剧降低，所以此时断口为解理的脆性断裂。

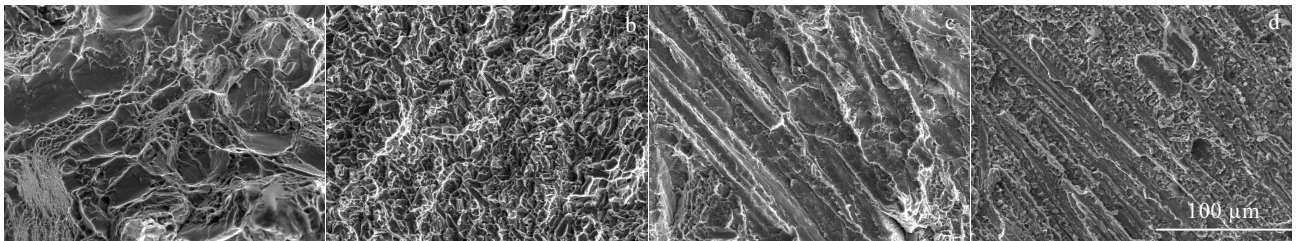


图 8 掺杂不同硼 Ti-6Al-4V-xB 合金的断口形貌
 Fig.8 Fracture morphologies of Ti-6Al-4V-xB with different B contents: (a) x=0, (b) x=0.05, (c) x=0.1, and (d) x=0.5

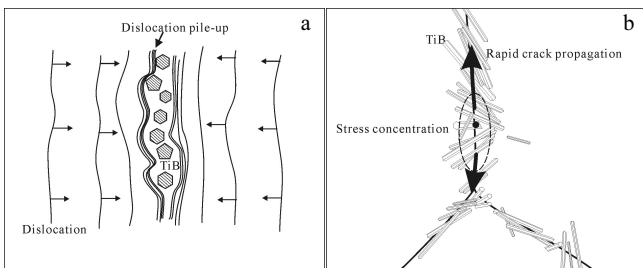


图 9 钛合金的 TiB 析出相形成裂纹敏感带示意图
 Fig.9 Schematic diagrams of crack-sensitive zone by TiB in titanium alloy: (a) dislocation pile-up and (b) crack propagation

3 结 论

- 1) 微量的 B 含量添加，将促使 Ti6Al4V-xB 合金在高温凝固过程中，通过 B 分布于固液前沿界面，对初始 β 相形成的富硼“包裹层”，初始 β -Ti 形核长大受阻，从而细化晶粒；继续添加 B 含量，初始 β 相形核方式未发生改变，继续增加硼含量钛合金晶粒细化将不明显。
- 2) 在 Ti6Al4V-xB 合金凝固过程中，富集到固液前沿的 B 元素在凝固过程中与液体 Ti 发生反应，析出“棒状”的 TiB 第二相，其在原始 β -Ti 晶界聚集，形成裂纹敏感带，致使合金晶界合金塑性急剧降低。
- 3) 铸态 Ti6Al4V-xB 中 B 含量在 0.05% 时，有明显的细化晶粒作用，未有 TiB 析出，合金的强度、塑

性得到相应提高；当 B 含量超过 0.1% 时会有明显的 TiB 相析出，合金的强度升高但塑性急剧下降。

参考文献 References

- [1] Su Yanqing(苏彦庆), Liu Weiqiang(刘卫强), Luo Liangshun(骆良顺) *et al. Rare Metal Materials and Engineering*(稀有金属材料与工程)[J], 2012, 41(1): 115
- [2] Zhu Kangping(朱康平), Zhu Jianwen(祝建雯), Qu Henglei(曲恒磊). *Rare Metal Materials and Engineering*(稀有金属材料与工程)[J], 2012, 41(11): 2058
- [3] Schutz R W, Watkins H B. *Journal of Materials Science*[J], 1998, 243(1-2): 305
- [4] Balasundar I, Raghu T, Kashyap B P. *Progress in Natural Science: Materials International*[J], 2013, 23(6): 598
- [5] Yang Yi, Lu Yafeng, Ge Peng *et al. Material Sciences*[J], 2014, 12(4): 197
- [6] Ibrahim K M, Hussein A H, Abdelkawy M. *Transactions of Nonferrous Metals Society of China*[J], 2013, 23(7): 1863
- [7] Tamirisakandala S, Bhat R B, Tiley J S. *Scripta Materialia*[J], 2005, 53(12): 1421
- [8] Saha R L, Nandy T K, Misra R D K *et al. Metallurgical and Materials Transactions B*[J], 1990, 21(3): 559
- [9] Inkson B, Boothroyd C, Humphreys C. *Le Journal de Physique IV*[J], 1993, 3(C7): 7
- [10] Godfrey A B. Thesis for Doctorate[D]. Birmingham: University of Birmingham, 1996
- [11] Cheng T T. *Intermetallics*[J], 2000, 8(1): 29
- [12] Lv Weijie(吕维洁), Zhang Di(张 荻), Zhang Xiaonong(张 小农) *et al. Journal of Shanghai Jiaotong University*(上海交通大学学报)[J], 2000, 34(12): 1606
- [13] Banoth R, Sarkar R, Bhattacharjee A *et al. Materials and Design*[J], 2015, 67(1): 50
- [14] Boehlert C J, Cowen C J, Tamirisakandala S *et al. Scripta Materialia*[J], 2006, 55(5): 465

Effects of Trace Boron Addition on Microstructure and Properties of As-cast Ti6Al4V-xB Alloys

Zhang Feiqi, Chen Wenge, Yan Chaofeng

(Xi'an University of Technology, Xi'an 710048, China)

Abstract: The Ti6Al4V-xB ($x=0, 0.05, 0.1, 0.5$, wt%) alloys were prepared by non-consumable melting and suction casting and then annealed at 900 °C for 2 h. The effect of different B contents on as-cast microstructures and mechanical properties of Ti6Al4V-xB alloys was analyzed. The results show that the addition of boron impacts the solidification process of titanium alloy. The enriched B in solid-liquid frontier retards the growth of initial β -Ti and it is effective to promote grain refining. When the boron content is more than 0.1%, TiB phases precipitate from liquid. The ultimate strength of Ti6Al4V-xB alloys increases from 893 MPa to 966 MPa with the content of B increasing, which is attributed to grain-refinement and precipitation strengthening. However, with the increase of B content, the plasticity of Ti6Al4V-xB first increases and then decreases. The plasticity of Ti6Al4V-0.05B alloy is increased by 15% while that of Ti6Al4V-0.1B and Ti6Al4V-0.5B is decreased by 50%, because the excessive B causes fragile precipitated-phase TiB precipitation which leads to the crack-sensitive zone.

Key words: Ti6Al4V alloys; TiB; microstructure; mechanical properties

Corresponding author: Zhang Feiqi, Candidate for Master, School of Materials Science and Engineering, Xi'an University of Technology, Xi'an 710048, P. R. China, Tel: 0086-29-82312383, E-mail: hutom@126.com